التقويم ألمختبرى لاستخدام الرواسب الطينية النيوجينية في تصنيع طابوق البناء

خلدون عباس معلة "، قيس جاسم سعود ""، ضياء بدر خميس "" باسم روفانيل جبو ""، نوال احمد السعدي "" و ماجد عبد الأمير كاظم """ السعدي " المرد عبد الأمير كاظم """ المرد السعدي " المرد عبد الأمير كاظم """ المرد السعدي " المرد عبد الأمير كاظم """ المرد عبد الأمير كاظم """ المرد عبد الأمير كاظم """ المرد عبد المرد عبد المرد المرد عبد المرد عب

المستخلص

تناولت هذه الدراسة تقويم الخواص الفيزيائية والكيميائية والمعدنية للرواسب الطينية النيوجينية وإمكانية استخدامها كماده أولية في تصنيع طابوق البناء الطيني بدلا من رواسب السهل الفيضي الحديثة. اعتمدت الدراسة على الاستطلاع الميداني لخمسة مواقع ضمن نطاق أقدام التلال وجمع 20 نموذج قناتي من أفضل مكاشف لهذه الرواسب وتقييم 300 عينة من الطابوق بالحجم المختبري (2.5 x 3.72 x 7 سم) ابتدءا من مراحل التجفيف والفخار ثم مرحلة التقويم.

بينت نتائج الدراسة إن الرواسب الطينية النيوجينية لتكويني انجانة وباي حسن المتكشفة في نطاق أقدام التلال توفر مادة أولية لتصنيع طابوق البناء من الصنفين أ و ب وفق متطلبات المواصّفة القياسية العراقية رقم 25 لسنة 1993 كما امتازت هذه الرواسب بتوفير صنفين نسيجيين هما الوحل والوحل الرملي واحتوائهما على أكثر من 50% من المعادن غير الطينية واقل من ذلك من المعادن الطينية، تتغلب فيها المعادن المختلطة(باليكورسكايت – ايلايت) ذات اللدونة المناسبة والحساسية الضعيفة تجاه التجفيف وان أفضل درجة حرارة لفخر الطابوق بالحجم ألمختبري هي 950°م للمادة الأولية المتواجدة في الأجزاء الجنوبية لنطاق أقدام التلال والتي أدت إلى ظهور طور معدني جديد تمثل بالـ اوجايت و 850°م للمادة الأولية المتواجدة في الأجزاء الشمالية منه والتي أدت إلى ظهور طور معدني جديد يمثل ولوستونايت و کهلنایت _ دایو بساید

LABORATORY ASSESSMENT FOR UTILIZATION OF NEOGEN MUDSTONES IN MANUFACTURING OF BUILDING BRICKS

Khaldoun A. Ma'ala, Qais J. So'od, Dea'a B. Khames Basem R. Jabo, Nawal A. Al-Saade and Majed A. Kadhum

ABSTRACT

This paper deals with evaluation of the physical, chemical and mineralogical properties of mudstones sediments of Neogene age (Injana and Bai Hassan formations) and their suitability to use them as raw material in manufacturing of building bricks, instead of recent sediments of alluvial plain. The study based on the field reconnaissance for five sites within the Foothill Zone. Twenty channel samples were collected from the best exposures of these sediments and 300 brick samples of laboratory size (7 x 3.72 x 2.5 cm) were evaluated, starting from drying and firing stages to evaluating stage.

^{*}خبير، الشركة العامة للمسح الجيولوجي والتعدين، صب ب 986، علوية، بغداد العراق

^{**} رئيس جيولوجيين أقدم، الشركة العامة للمسح الجيولوجي والتعدين

^{***} رئيس كيمياويين أقدم (متقاعدة)، الشركة العامة للمسح الجيولوجي والتعدين **** جيولوجي أقدم، الشركة العامة للمسح الجيولوجي والتعدين

The results show that the sediments are suitable raw material for manufacturing of building bricks of classes A and B, according to the requirements of specification of the Iraqi standard No.25 for the year 1993. These sediments are characterized by presence of two textural classes: mud and sandy mud, which contain no more than 50% of non-clay minerals and less than 50% of clay minerals. The latter dominated of mixed layer of Palygorskite – Illite, with proper plasticity and exhibited low sensitivity for drying. The best temperature for firing bricks is 950° C for the raw material in the southern parts of the Foothill Zone, which led for appearance of new mineral state represented by Augite and 850° C for the raw material of its northern parts which is attributed for disappearance of the original composition of the raw material and appearance of new minerals state, represented by Wallastonite and Gehlenite – Diopside.

المقدمة

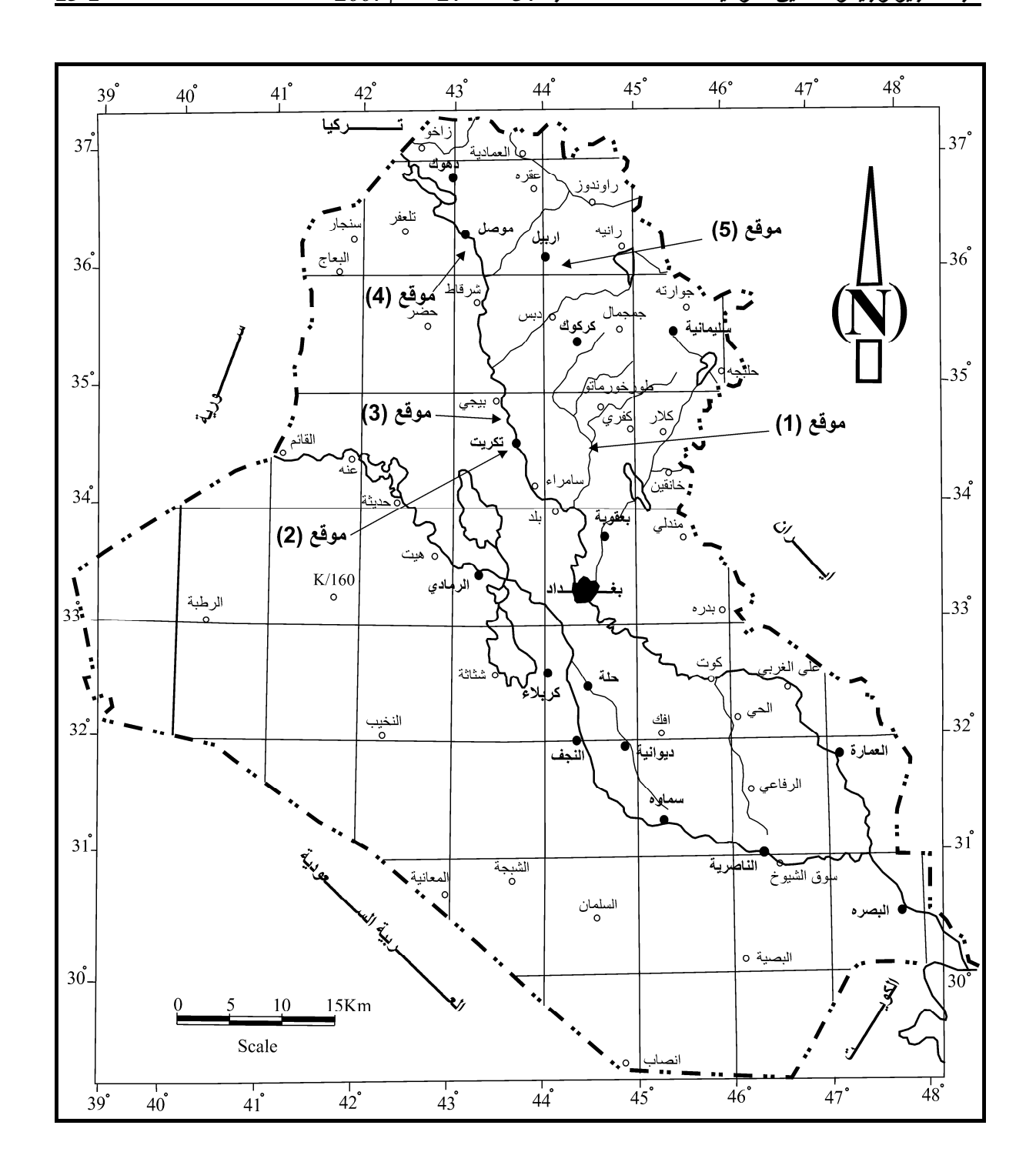
تعتبر الرواسب الطينية المتطبقة جزءا من التتابع الطباقي للتكوينات الجيولوجية التي ترسبت على هيئه طبقات طينية في بيئة فيضية قديمة أو بيئة بحيرية شاطئية قديمة وتعرضت للطمر والرص الطبيعي، وعند تعرضها للتجوية تصبح مكاشفها ضعيفة (Bates, 1969). تعد الرواسب الطينية مكاشفها ضعيفة (Taker, 1985). تعد الرواسب الطينية المتطبقة في العمود الطباقي لعصر النيوجين الأكثر انتشارا في نطاق إقدام التلال (Foothill Zone) حيث تشكل (Lateef, 1976) هن تتابعات الصخور الفتاتية (1976 (Lateef, 1976)، ولما تتمتع به هذه الترب من خواص معدنية وفيزيائية وكيميائية مناسبة وجد الباحثون وميرزا (1997) والبيداري (1997) والحكيم (1998) وحمادي (2002) وسرسم (2004) ضرورة التحقق ألمختبري من مكونات الرواسب المتطبقة وإمكانية استخدامها كمادة أولية في تصنيع طابوق البناء الطيني بدلا من الرواسب الطينية حديثة التكوين، إضافة إلى أن المناطق التي تتكشف فيها الرواسب الطينية النيوجينية تفتقر لصناعة طابوق البناء بسبب ضيق مساحة الرواسب الفيضية الحديثة وتأثيرها على الترب الزراعية.

أسلوب العمل

اعتمدت هذه الدراسة على الاستطلاع الميداني لخمسة مواقع منتخبة ضمن نطاق أقدام التلال الموضحة في الشكل (1)، والقيام بنمذجة كل موقع وبواقع أربعة نماذج قناتية متفرقة لكل موقع ليكون المجموع الكلي 20 نموذج وكما مبين في الجدول (1). إن اختيار المواقع كان على أساس توفر الامتداد الواسع والسماكات الكبيرة للرواسب الطينية ألمتطبقة إلى توفر الطرق) إضافة إلى نتائج المتطبقة إلى توفر الطرق) إضافة إلى نتائج الفحوصات للمواد الأولية والطابوق ألمختبري المنتج منها.

ا والتكوين الجيولوجي	الدراسة وأرقام نماذجه	جدول(1): مواقع
----------------------	-----------------------	----------------

التكوين الجيولوجي	أرقام النماذج في هذه الدراسة	رقم الموقع	مواقع الدراسة
انجانة	4 - 1	موقع (1)	محافظه دیالی (منطقة انجانة)
انجانة	8 - 5	موقع (2)	محافظة صلاح الدين (شرق مدينة تكريت)
انجانة	12 - 9	موقع (3)	محافظة صلاح الدين (شمال شرق تكريت)
انجانة	16 - 13	موقع (4)	محافظة الموصل (جنوب مدينة الموصل)
باي حسن	20 – 17	موقع (5)	محافظة أربيل (شرق مدينة أربيل)



شكل (1): خريطة موقعية لمواقع الدراسة

خضعت نماذج الرواسب الطينية النيوجينية المتفرقة لثلاثة أنواع من الفحوصات المختبرية المبينة أدناه وجميعها تمت في مختبرات الشركة العامة للمسح الجيولوجي والتعدين:

فحوصات تقويم الرواسب الطينية النيوجينية

شملت تحليل الندرج ألحجمي المنخلي والهيدرومتري للتعرف على نسب محتواها من الطين والغرين والرمل حسب تقسيمات (Atterberg (1911) والتصنيف النسيجي لهذه الرواسب من خلال رسم العلاقة بين النسب المئوية الوزنية المكونات الأساسية (طين، رمل وغرين) على مثلث (Tolk (1974)، إضافة إلى فحص الدونتها وفق (Atterberg (1911). كما اجري فحص الأشعة السينية الحائدة (XRD) شبه الكمي للتعرف على أنواع المعادن الطينية وغير الطينية ونسبها وكذلك إجراء التحليل الكيميائي لبيان محتواها من أكاسيد العناصر الأساسية وغير الطينية ونسبها وكذلك إجراء التحليل الكيميائي لبيان محتواها من أكاسيد العناصر الأساسية (Na₂O, K₂O, L.O.I., SO₃, MgO, CaO, Fe₂O₃, Al₂O₃, SiO₂) بواسطة جهاز طيف الامتصاص الذري (Atomic Absorption Spectrophotometer).

اختبارات التجفیف والفخر

تضمنت تغتيت النماذج الطينية المتماسكة وتخميرها بالماء لمدة 72 ساعة وبدون إضافة مواد مساعدة (كالرمل) لغرض تهيئتها لعملية البثق والتقطيع مختبرياً. أنتجت 300 عينة طابوق غير مفخورة بالحجم المختبري (x 3.72 x 7 سم) ثم عرضت للتجفيف في الهواء الطلق لمدة 48 ساعة ومراقبة مظهرها العام. وقد وجدت جميعها سليمة بحيث لم تتعرض للتشقق أو الثلم أو أي تشويه آخر. في اليوم الثالث وضعت كافة العينات في فرن كهربائي بدرجة حرارة 950° م لمدة ساعة واحدة وبفترة إنضاج أمدها ثلاثة ساعات.

فحوصات تقويم الطابوق المنتج

تضمنت إجراء فحص الانكماش الطولي والحجمي، فحص قوة تحمل الضغط، فحص امتصاص الماء، فحص التزهر (معيار وصفي). كذلك جرى تقويم المظهر العام للطابوق الذي بقى سليما بعد عملية الفخر من حيث اللون وقياس الأبعاد، والزوايا، والحافات والسطوح، إضافة إلى فحص الأشعة السينية الحائدة لخمسة عينات للتعرف على أطوارها المعدنية بعد عملية الفخر. أخيرا صنف الطابوق المنتج وفق المواصفة العراقية المبينة في الجدول(2).

لسنه (1993) لصناعة طابوق البناء	العراقية رقم (25)	جدول(2): المواصفة
---------------------------------	---------------------	-------------------

التزهر (الحد الأعلى)	ألحد ألأعلى للنسبة ألمئوية بالوزن لامتصاص ألماء% (لطابوقة واحدة)	ألحد ألأدنى لتحمل ألضغط (نيوتن/م²) (لطابوقة واحدة)	الأصناف
خفيف	%22	16	Í
متوسط	%26	11	ب
عالي	%28	7	ح

الوضع الجيولوجي

تواجدت مواقع الدراسة ضمن نطاق أقدام التلال (Foothill Zone) العائد لنطاق الرصيف غير المستقر (Buday and Jassim, 1987) الذي كان في عصر النيوجين حوضا يستقبل المولاس النهري. يضم هذا النطاق عدد كبير من الطيات المحدبة التي تمتد باتجاه شمال غرب – جنوب شرق والتي تعكس تأثير الطور الثلاثي للحركات البنيوية الالبية، وقد تعرضت هذه الطيات لعوامل التعرية الشديدة خلال العصر الرباعي والتي أدت إلى انجراف العديد من الطبقات الصخرية الهشة خاصة في المناطق المفصلية (hinge zones) لهذه الطيات. تتكشف التكوينات الجيولوجية على هيئة أحزمة الكويستا (cuesta) ذات السفوح المتباينة الانحدار والمناسيب وميل طبقاتها يتراوح مابين 5° – 40°، كما ساعدت الكسور الثانوية وتباين صلادة الصخور على تشكل الوديان المضربية والمستعرضة وبكثافات متباينة. فيما يلي وصف موجز لأهم تكوينات عصر النيوجين المتكشفة في مواقع النمذجة من الأقدم إلى الأحدث:

تكوين الفتحة (المايوسين الأوسط)

يتكشف الجزء الأعلى من هذا التكوين في محور كل من طية حمرين الجنوبي (جنوب منطقة انجانة)، طية حمرين الشمالي شرق وشمال شرق مدينة تكريت. يتألف من مجموعة دورات رسوبية، كل دورة رسوبية تتألف من طبقات طينية خضراء ورصاصية وحمراء اللون وطبقات الحجر الجيري والجبس في الأعلى. تتكشف الطبقات الطينية باتجاه الشمال والشمال الشرقي وتحتوي على عروق جبسية نحيفة. يتراوح سمك الطبقة الطينية مابين (1 - 3) متر (Lattif, 1975; Beleen, et al., 1951; Dannington, 1953).

تكوين انجانة (المايوسين الأعلى)

يتكشف في محور كل من طية حمرين الجنوبي (جنوب منطقة انجانة)، طية حمرين الشمالي (شرق وشمال شرق مدينة تكريت) وطية حاوي أصلان(جنوب الموصل). يتألف من مواد فتاتية منقولة والتي يتراوح حجم حبيباتها من الطين إلى الرمل الخشن والتي ترسبت على هيئة تعاقب من صخور طينية بنية اللون متماسكة وجافة وتحتوي على كرات طينية، سمك الطبقة الواحدة يتراوح مابين (2.5 - 4) متر مع صخور الرمل أو الغرين، بنية اللون، كتلية، ومتشققة تحتوي على عروق جبسية نحيفة، سمك الطبقة الواحدة يتراوح مابين (2 - 5) متر. سمك التكوين يتراوح ما بين (2005 - 50) متر (500 - 500).

تكوين المقدادية (المايوسين – البلايوسين)

يتكشف في الأجزاء الخارجية لكل من طية حمرين الجنوبي وطية حمرين الشمالي وفي محور طية ديمرداغ المحدبة (غرب مدينة اربيل). يتألف من مواد فتاتية منقولة والتي يتراوح حجم حبيباتها من الطين إلى الحصى وقد ترسبت على هيئة تعاقب طبقات من صخور الغرين الرملي والرمل الغريني مع طبقات الرمل الحصوي. سمك التكوين يتراوح ما بين (1200 – 1200) متر (1306 – 1976) متر (1400 – 1976).

تكوين باي حسن (البلايوسين – البلايستوسين)

يتكشف في الجزء الخارجي من طية ديمرداغ المحدبة ويتألف من جزأين، الأسفل يتألف من تعاقب صخور المدملكات مع الرمل والأعلى يتألف من مواد فتاتية منقولة والتي يتراوح حجم حبيباتها من الطين إلى الحصى الخشن والذي ترسب على هيئة تعاقب صخور الوحل الكلسي حمراء فاتحة اللون، متماسكة، وتراوح سمك الطبقة الواحدة ما بين (2 - 10) متر. مع صخور المدملكات، سمك الطبقة الواحدة يتراوح ما بين (5 - 10) متر وسمك التكوين المتكشف 266 متر (معلة و آخرون، 2005).

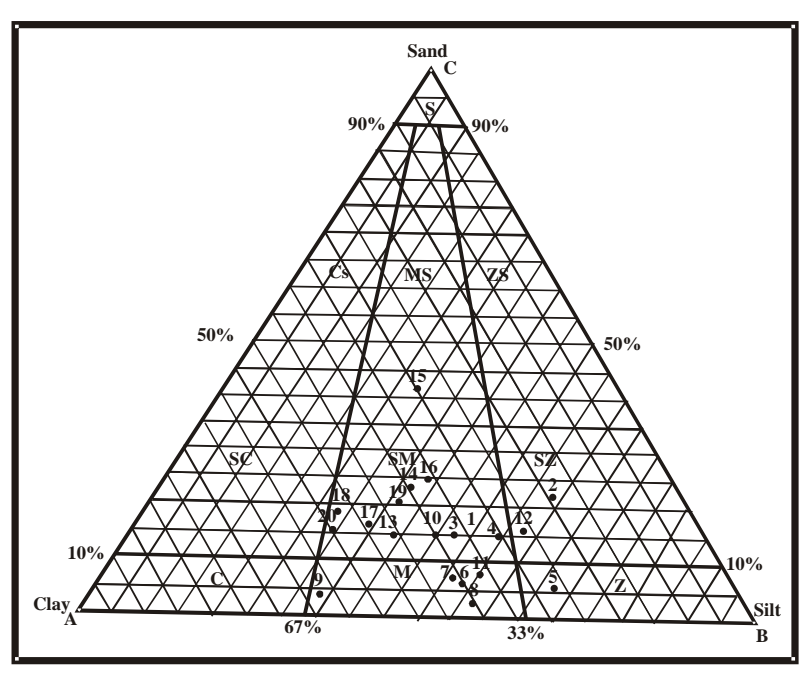
النتائج

اعتبر معلة وآخرون (أ، ب، ج، 2001 و2004) والحكيم (1998) إن كل من تكويني انجانة وباي حسن مصادر واعدة للمواد الأولية التي يمكن استخدامها في تصنيع طابوق البناء الطيني لاحتوائها على رواسب طينية ذات بيئة نهرية قديمة، ولكنها سريعة التغيرات السحنية الجانبية بسبب وجود الألسن أو العدسات الرملية، إضافة إلى تلوث بعض طبقات تكوين انجانة بالجبس الثانوي الذي يملأ بعض الفواصل أو سطوح التطبق على هيئة عروق عمودية أو أفقية. خضعت الترب الطينية ألمتطبقة لتكوين باي حسن والأجزاء غير الملوثة بالجبس الثانوي لتكوين إنجانة للفحوصات المختبرية.

بينت فحوصات التدرج ألحجمي للنماذج التي تناولتها الدراسة (الجدول 3). إن نسبة الغرين هي السائدة من المكونات الحجمية في المواقع 1 و 2 و 3 (الجدول 1) والتي تمثل الأجزاء الجنوبية لنطاق أقدام التلال وكانت نسبته 2.63% ، أما نسبه الطين فيها فتمثل 37.4% والرمل 10.25% كمعدل عام. أما الموقعين 4 و 5 (الجدول 1) واللتان تمثلان الأجزاء الشمالية لنطاق أقدام التلال فان نسبة الطين فيها هي السائدة ضمن المكونات الحجمية وتتمثل بنسبة 44% ونسبة الغرين الشمالية لنطاق أقدام التلال فان نسبة الطين عامة. يلاحظ بأن نسبة الغرين تقل باتجاه الأجزاء الشمالية بينما نسبة الطين تزداد باتجاه الأجزاء الشمالية في حين نلاحظ تباين نسبة الرمل كثيرا حيث تباينت معدلاته في الأجزاء الجنوبية تزداد باتجاه الأجزاء الشمالية 22.2%، كما إن هذه الترسبات تفتقر للحصى. ونظرا للتشابه الكبير في صخارية الرواسب الطينية ألمتطبقة اعتمد مثلث التصنيف للترسبات الفتاتية (Folk, 1974) الموضح في الشكل(2) ومنه تبين إن نماذج الدراسة تتكون من صنف الوحل الرملي وهي المتغلبة ويليها صنف الوحل ثم نموذج واحد يعود لصنف الغرين.

جدول(3): نتائج فحص التدرج ألحجمي للرواسب الطينية النيوجينية

الصنف النسيجي			الطين	رقم النموذج
	أكبر من	(0.02 - 0.002)	أقل من	رتم التمودج
	0.02 ملم	ملم	0.002 ملم	
وحل رملي	15	50	35	1
وحل رملي	22	58	20	2
وحل رملي	15	47	38	3
وحل رملي	15	64	31	4
غرين	6	68	26	5
غرين وحل	6	54	40	6
وحل	7	51	42	7
وحل	4	56	40	8
وحل	4	33	63	9
وحل رملي	15	45	40	10
وحل	7	46	47	11
غرين رملي	16	57	27	12
وحل رملي	15	39	46	13
وحل رملي	24	36	40	14
وحل رملي	42	28	31	15
وحل رملي	25	39	36	16
وحل رملي	17	34	49	17
وحل رملي	19	28	53	18
وحل رملي	21	38	43	19
وحل رملي	16	29	55	20



S = رمل Z = غرین C = طین

M = eوحل

شكل (2): التوزيع النسبي لأجزاء الرمل والغرين والطين في نماذج الدراسة حسب مثلث (Folk, 1974)

بينت نتائج الأشعة السينية الحائدة (شبه الكمي) (الجدول 4) إن النماذج التي تناولتها الدراسة تشمل المعادن الطينية وغير الطينية التي تمثل النشأة المنقولة، كما أن هناك معادن غير منقولة أي موقعية المنشأ. إن نسب المعادن غير الطينية المنقولة تتراوح بين (44 - 60) % وتتكون من الكاربونات (الكالسايت والدولومايت) بنسبة (42 - 25) % والفلاسبار (2 - 8) %، إضافة إلى المعادن المتكونة موقعياً وهي الجبس وبنسب متباينة بنسبة (15 - 25) % والفلاسبار (2 - 8) %، إضافة إلى المعادن المتكونة موقعياً وهي الجبس وبنسب متباينة (0 - 5) %. أما نسبة المعادن الطينية المنقولة فتتراوح مابين (38 - 55) % وتتكون من معادن مختلطة الطبقات (Mixed layers) وان المعدن الطيني السائد فيها هو الباليكورسكايت - ايلايت ويليها المونتموريلونايت - كلورايت ثم الكاؤولينايت وهو اقل المعادن وجودا.

دميرداغ	ج موقع	ة الدراسة باستثناء نماذ	مي) لكافة نماذج	إشبة الك	الأشعة السينية الحائدة (): نتائج فحص	جدول (4)
---------	--------	-------------------------	-----------------	----------	--------------------------	--------------	----------

	نية (%)	، غير الطي	المعادن		(%)	اله	رقم	
G	C+D	F	C	Q	M+Ch	P + I	K	النموذج
2	26	5	-	18	4	25	12	1
3	21	8	-	20	5	22	18	2
-	26	2	-	23	14	12	12	3
4	24	2	-	18	19	17	13	4
-	26	3	-	21	12	22	16	5
-	24	6	-	24	7	22	16	6
-	26	3	-	19	13	22	17	7
-	26	4	-	21	7	23	18	8
-	22	ı	-	20	29	11	15	9
3	34	3	1	18	10	19	12	10
-	-	-	-	-	9	17	9	11
5	30	5	-	25	-	22	13	12
-	-	2	30	21	22	11	8	13
-	-	2	30	20	18	21	6	14
-	-	-	26	20	19	22	7	15
-	-	3	41	15	11	14	10	16

حيث ان :

P = الباليكورسكايت	K = الكاؤولينايت	Ch = الكلورايت	F = الفلدسبار	C = الكالسايت
Q = الكوارتز	M = المونتموريلونايت	I = الايلايت	G = الجبسوم	D = الدولومايت

بين فحص اللدونة (الجدول 5) إن النماذج التي تناولتها الدراسة تتألف من مجموعتين من الرواسب الطينية عالية ومتوسطة اللدونة (CL و CH) حسب التصنيف الموحد للترب (U.S.C.S). وقد لوحظ أن الأجزاء الجنوبية من منطقة الدراسة (الموقعين 1 و 2) تحتوي على كميات مهمة من المعادن الطينية المختلطة باليكورسكايت - ايلايت وبنسبة (11 - 25) % والتي تميل بطبعها نحو اللدونة الواطئة نسبيا، ولكنها تزداد تدريجيا باتجاه الأجزاء الشمالية من منطقة الدراسة (الموقعين 4 و 5) لتشكل قيم عالية بسبب التقارب النسبي بين نسب المعادن المختلطة الباليكورسكايت - ايلايت و المونتموريلونايت - كلورايت وكذلك انخفاض نسب الكاؤولينايت والتي تشكل نسبة (6 - 15) % . كما أن الترسبات الطينية تفتقر لوجود المايكا والبايرايت ذات التأثير السلبي في تصنيع طابوق البناء.

بين التحليل الكيمياني للرواسب الطينية ألمتطبقة (الجدول 6) إن نسبة السليكا تراوحت مابين (36 - 45.5) % وهي تشكل النسبة الرئيسة لكافة نماذج الدراسة، فضلا عن احتواء النماذج التي تناولتها الدراسة على نسب متفاوتة من الالومينا واكاسيد الكالسيوم، الحديد والمغنسيوم. ان نسبة الكبريتات تراوحت بين (0 - 3) % وتراكيز القلويات (CaO) قترداد تدريجيا باتجاه الأجزاء الشمالية، وتراوحت نسبة اوكسيد الحديد بين (2 - 5.5) % وأخيرا نسبة المغنيسيا (MgO) تراوحت بين (2 - 3.45) % وأخيرا نسبة المغنيسيا (MgO) تراوحت بين (4 - 3.65) % كما أن هذه الترسبات تفتقر لوجود المواد العضوية.

جدول (5): نتائج فحص اللدونة للرواسب الطينية النيوجينية

نوع التربة U.S.C.S	معامل اللدونة P.I%	حد اللدانة P.L%	حد السيولة L.L%	رقم النموذج
CL	12.59	18.65	31.24	1
CL	9.57	18.8	28.37	2
CL	14.25	20.9	35.15	3
CL	11.19	22.66	33.85	4
CL	21.62	24.23	45.85	5
CL	12.6	23.56	36.16	6
CL	17.1	25.02	42.12	7
CL	19.85	25.92	45.77	8
CL	17.3	25.9	43.2	9
СН	26.43	23.65	50.08	10
СН	24.9	26.9	51.8	11
СН	25.27	29.5	54.77	12
СН	27.7	26.88	54.58	13
СН	28.76	29.52	58.28	14
CL	9.49	21.3	30.79	15
CL	24.37	25.24	49.61	16
СН	28.56	24.81	53.37	17
СН	28.218	24.9	53.114	18
СН	26.95	24.95	51.9	19
СН	26.22	25.1	51.33	20

حيث ان :

			بیت ان :
ة عالية اللدونة	CH: تربا	CI: تربة متوسطة اللدونة	<i>1</i>

أما الطابوق المنتج بعد عملية الفخر فقد خضع لتقييم مظهره العام الذي أشار إلى إن لونه السائد يتراوح بين البيج الفاتح والأصفر وبعضها بني محمر، وذي إبعاد منتظمة وزوايا قائمة وحافات مستقيمة وسطوحا مستوية وعديمة التشقق باستثناء الطابوق المحضر من موقع الموصل الذي تعرضت بعض عيناته للانتفاخ الجزئي مع شقوق قليلة إلى كثيرة.

أجريت مجموعة من الفحوصات المختبرية لتخمين متانة الطابوق المحضر بطريقة البثق وكما مبين في الجدول(7).

من خلال قياس أبعاد وحجم الطابوق المنتج سليما قبل الفخار وبعده تبين أن نسبة الانكماش الطولي يتراوح مابين (0.4 - 1.8) % والانكماش الحجمي يتراوح بين (4.5 - 11.9) %. وكذلك إن تحمل الضغط للطابوقة الواحدة يتراوح بين (16 - 23) نيوتن/ a^2 وفحص امتصاص الماء يتراوح بين (18 - 33) %. أما فحص التزهر فكانت النتائج تتراوح بين خفيف a^2 منوسط باستثناء عينتين من طابوق موقع الموصل حيث ظهرت فيهما العيوب التالية أثناء هذا الفحص:

عدم استواء أسطح الطابوق بسبب ظهور انتفاخات جزئية ترافقها عقد بيضاء اللون بحجوم مختلفة تراوحت بين (1 - 5) ملم يرافقها شقوق مفتوحة وتثلم حافتها.

جدول (6): نتائج التحليل الكيميائي للرواسب الطينية النيوجينية

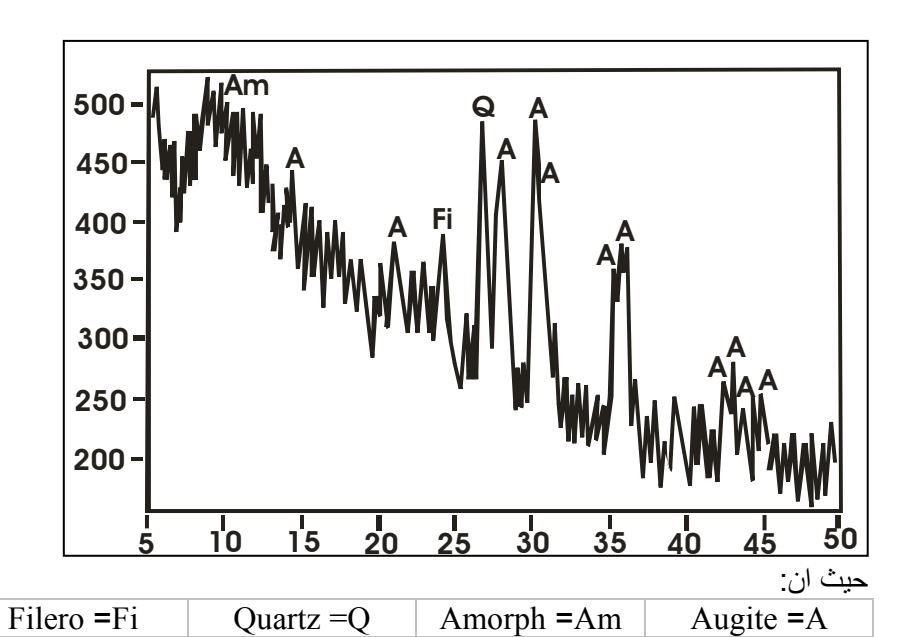
نسبه مئوية وزنية (%)										رقم
Na ₂ O	K ₂ O	L.O.I	SO ₃	MgO	CaO	Fe ₂ O ₃	Al ₂ O ₃	SiO ₂	Total	النموذج
1.52	1.87	16.21	1.38	5.65	14.02	4.6	10.15	42.64	98.04	1
1.74	1.8	15.13	1.96	5.5	12.69	4.7	10.96	43.02	97.5	2
1.8	1.74	16.17	0.65	5.1	15.14	4.6	9.44	43.88	98.52	3
1.34	1.28	18.05	3.05	7.7	14.86	5.23	10.56	35.98	98.14	4
1.27	2.6	15.53	0.48	6.9	11.2	5.82	12.98	42.18	98.96	5
0.9	1.96	15.21	0.09	6.7	12.88	5.52	12.51	42.68	98.45	6
1.11	2.28	16.16	0.5	7.2	12.88	5.28	11.36	42.54	99.31	7
1.16	2.52	15.03	0.12	6.6	12.32	5.6	13.22	42.44	99.01	8
0.8	1.78	14.36	< 0.07	8.2	10.92	5.4	14.4	42.96	98.89	9
1.48	1.13	18.23	1.86	7.2	16.8	5.26	10.62	36.98	99.56	10
1.7	1.54	16.78	1.5	6.3	15.0	2.9	11.09	41.12	97.93	11
1.87	1.54	15.05	1.8	8.65	14.0	3.1	11.33	41.28	98.62	12
0.73	1.16	17.59	< 0.07	4.6	17.92	4.82	10.6	41.82	99.13	13
0.46	1.23	17.52	< 0.07	3.95	17.36	4.75	10.39	43.76	99.03	14
0.8	1.46	16.64	< 0.07	3.9	15.68	4.42	9.44	45.54	97.95	15
0.4	0.66	22.95	< 0.07	3.45	23.52	3.55	8.2	35.92	98.72	16
0.24	1.0	21.5	< 0.07	5.2	20.07	4.65	8.73	38.0	99.16	17
0.31	0.93	21.3	< 0.07	4.6	21.0	4.65	8.73	38.02	99.95	18
0.34	0.96	21.55	< 0.07	5.0	20.18	5.02	8.73	38.0	99.85	19
0.41	1.36	21.38	< 0.07	3.9	20.98	5.4	10.15	36.4	100	20

لغرض التعرف على الأطوار المعدنية لبنية الطابوق المنتج بعد الفخار في فرن كهربائي بدرجة 950° م لمدة ساعة واحدة وبفترة إنضاج ثلاث ساعات، خضعت خمسة عينات من الطابوق المفخور بالحجم ألمختبري وبواقع نموذج واحد من كل موقع لفحص الأشعة السينية الحائدة (XRD) وقد تبين تكو □ن طور بلوري جديد هو طور الد اوجايت (Augite)، وهو احد معادن مجموعة البايروكسين (الشكل 3).

يبين الجدول(8) نتائج تصنيف طابوق البناء المنتج مختبرياً وفق المواصفة القياسية العراقية رقم 25 لسنه 1993 ويتضح منه بان كل موقع يحتوي على صنف أ و ب باستثناء الموقع رقم 5 الذي يحتوي على الأصناف أ و ب و ج مع فشل عينة واحدة بامتصاص الماء.

جدول(7): نتائج فحص الطابوق الطيني بالحجم المختبري

الخواص الفيزيائية للطابوقة						أبعاد الطابوقة			
التزهر	امتصاص الماء لطابوقة واحدة (%)	تحمل الضغط لطابوقة واحده (نيوتن/ م²)	الانكماش ألحجمي (%)	الانكماش الطولي (%)	الارتفاع (سم)	العرض (سم)	الطول (سم)	رقم النموذج	
خفيف	19	29.1	1.3	1.1	2.5	3.72	7.02	1	
		ق	س اثناء الحرز	تكس				2	
خفيف	21	20.4	2.0	0.4	2.46	3.64	7.29	3	
لايوجد	23	26.5	3.5	0.7	2.38	3.68	6.97	4	
خفيف	23	38.7	4	0.6	2.42	3.72	7.09	5	
خفيف	19	42.9	5.3	1.1	2.4	3.7	7.06	6	
خفيف	20	40.8	4.4	1.1	2.45	3.72	7.11	7	
خفيف	22	39.7	4.5	1	2.43	3.74	7.07	8	
خفيف	21	31.4	8.4	1.5	2.3	3.53	7.04	9	
متوسط	25	26	3.6	0.4	2.36	3.63	6.9	10	
خفيف	23	16	4.6	1.8	2.36	3.63	7.22	11	
خفيف	22	24.5	1.0	0.7	2.44	3.56	7.27	12	
لايوجد	19	30.4	5.2	1.5	2.3	3.57	6.82	13	
لايوجد	20	31.7	7.4	1.7	2.31	3.58	6.87	14	
لايوجد	20	31.8	4.2	0.7	2.34	3.63	6.94	15	
لايوجد	23	31.1	4	0.8	2.36	3.64	6.97	16	
خفیف	25	20.3	7.3	0.3	2.33	3.56	6.49	17	
متوسط	23	23.8	11.1	2.1	2.31	3.53	6.44	18	
متوسط	33	20	11.9	3.0	2.36	3.54	6.49	19	
خفیف	18	22.7	8.4	1.8	2.35	3.56	6.43	20	



شكل (3): مخطط الحيود السيني يبين الأطوار المعدنية لعينة طابوق مفخورة بدرجة 950° م

25 لسنة 1993	المواصفة العراقية رقم	بالحجم ألمختبري) حسب): تصنيف طابوق البناء (جدول(8)
--------------	-----------------------	----------------------	-------------------------	---------

ألصنف	ألتزهر (الحد الأعلى)	الحد الأعلى للنسبة المئوية بالوزن لامتصاص الماء (لطابوقة واحدة)%	الحد الأدنى لتحمل الضغط (لطابوقة واحدة) (نيوتن/ ملم ²)	رقم النموذج
Í	خفيف	Í	Í	1
	خفيف		تكسر أثناء الحرق	2
Í	خفيف	Í	Í	3
ب	خفيف	ب	Í	4
ب	خفيف	ب	Í	5
Í	خفيف	Í	Í	6
Í	خفيف	Í	Í	7
Í	خفيف	Í	Í	8
Í	خفيف	Í	Í	9
ب	متوسط	ب	Í	10
Í	خفيف	Í	Í	11
ب	خفيف	ب	Í	12
Í	خفيف	Í	Í	13
Í	خفيف	Í	ĺ	14
Í	خفيف	Í	Í	15
Í	خفيف	Í	Í	16
ج	خفيف	ب	1	17
ب	متوسط	ب	1	18
فاشل	متوسط	<u>ح</u>	1	19
1	خفيف	1	1	20

المناقشة

تعتبر مرحلة تجفيف الطابوق غير المفخور (green-bricks) بصورة عامة من أكثر مراحل إنتاج الطابوق حراجة بسبب احتفاظ الطابوق غير المفخور ببعض الماء الذي لا يمكن التخلص منه حتى بالمراحل الأولى من عملية الفخر بسبب احتفاظ الطابوق غير المفخور ببعض الماء الذي لا يمكن التخلص منه حتى بالمراحل الأولى من عملية الفخر نتيجة الانغلاق الكلي للنسيج اللدن (البصام، 2004). أشار فتوحي وآخرون (1989) بان الطين عندما يجف ينكمش وان مقدار هذا الانكماش يعتمد على كمية الماء المخزون في المسامات التي يحتويها أو التي تكون ضمن التركيب الجزيئي للمعادن الطينية. إن فحص معامل اللدونة هو مؤشر على نسبة الرطوبة التي تبقى فيها التربة بحالة اللدونة بينت نتائج فحص اللدونة (الجدول 5) إن معامل اللدونة يتراوح بين (11.19 - 28.76) % وتعتبر هذه النسبة قليلة وهي تتناسب مع المحتوى السائد للمعادن الطينية (الباليكورسكايت - ايلايت) حيث أن التركيب الجزيئي لهذه المعادن لا قدرة له على سحب الماء وتشكيل حاله الانتفاخ. أشار (1983) Al-Kass and Al-Khalisi إلى أن تشقق الطابوق غير المفخور يعود إلى كثرة تركيز المونتموريلونايت و توزيع التدرج ألحجمي. وكما تم توضيحه سابقا فان محتوى المعادن المختلطة (المونتموريلونايت - كلورايت) يأتي بالمرتبة الثانية وتراكيزها تعتبر قليلة حيث يكون تركيز أطيان الكاؤولينايت هي الأعلى مقارنة بمحتواها في ترب السهل الفيضى الحديث.

أما التدرج ألحجمي (الجدول 3) فقد تبين أن المحتوى العالي كان في الغرين والطين باستثناء النموذج رقم 2 (سيتم شرحه لاحقا) وقلة محتوى الرمل الذي تراوح مابين (4 - 24) % وهي قيمة واطئة للترب المستخدمة في صناعة طابوق البناء. كما أن 50% من SiO_2 الموجودة في الرواسب الطينية ألمتطبقة توجد على هيئة سليكا حرة (كوارتز) والتي تقوم على تقليل لدونتها وبالتالي تقليل الانكماش في عملية التجفيف. بين التحليل الكيميائي (الجدول 6) إن محتوى النماذج التي تناولتها الدراسة من أوكسيد الكالسيوم تراوح بين (12.32 - 23.42) % وهذه النسبة ربما تقلل من الانكماش وتسهل عملية التجفيف في درجات حرارة تحت $^{\circ}$ 0 (Al-Kass and Al-Khalisi,1983).

تعتبر عملية فخار الطابوق مرحلة ثانية في عملية تصنيع طابوق البناء الطيني، والتي تهدف إلى إنتاج زجاج كاف لربط الأجزاء غير الملتحمة مع بعضها، إن الحرارة تعمل على إحداث تغيرات كبيرة في الأطوار المعدنية عند تعرض المعادن الأولية الموجودة في الرواسب الطينية ألمتطبقة القديمة إلى درجات حرارة 950° م، حيث تتكون هذه الرواسب من معادن طينية (الباليكورسكايت - ايلايت و المونتموريلونايت - كلورايت و الكاوؤلينايت) ومعادن غير طينية (الكوارتز، الكالسايت، الفلدسبار و الجبس). إن هذه المعادن الأولية تتحول في درجة الحرارة أعلاه إلى طور الحوارتز، الكالسايت، الفلدسبار و الجبس). إن هذه المعادن الأولية تتحول في درجة الحرارة أعلاه إلى طور الكوارتز، الكالسايت، الفلدسبار و الجبس). المعادن الأولية تتحول أولية تتحول أولينتمي إلى مجموعة البايروكسين (Ca Mg Fe Al₂ Si₂ O₆) والسليكا الحرة واتحاد بعض العناصر القلوية مع السليكا الحرة لتكوين أطوار زجاجية مثل سليكات الصوديوم أو سليكات البوتاسيوم (الشكل 3).

بين التحليل الكيميائي للرواسب الطينية ألمتطبقة (الجدول 4) إن محتوى أوكسيد السليكون لم يتغير كثيرا في كافة النماذج التي تناولتها الدراسة وتراوح بين (35 - 45) % وكذلك الألومينا مع وجود علاقة طردية بينهما وهما يشكلان المكونات الأساسية للمعادن الطينية، ويعدان كمواد مقاومة للانصهار وان كافة النماذج تحتوي على نسب شبه عالية لأكاسيد كل من CaO, Fe₂O و MgO حيث أنها تقع ضمن المدى (2.9 - 23.5) % والتي بدورها ستؤدي إلى زيادة درجة حرارة التزجيج.

إن التكسرات التي تحصل لعينات الطابوق أثناء الفخار تعود إلى زيادة أملاح الصوديوم والبوتاسيوم الموجودة في المواد الأولية وبسبب التفاعلات الكيميائية التي تحدث في إحدى مراحل الفخر (الرمضاني و عبد القادر 1995)، وكذلك أضاف البصام (2004) إن تفكك الكلوريدات إلى غاز الكلور وايونات الصوديوم والبوتاسيوم يتم بدرجة حرارة أضاف البصام (2004) فقد أعزى أسباب التكسر إلى الكالسايت والكبرينات والأملاح الذائبة والكلوريدات وحجم الغرين، حيث إن الكالسايت تحرر غاز CO₂ والكبريتات تحرر 2O₂ + SO₂ والمناساية والكلوريدات المسامية، إن هذه الأسباب لا تنطبق على تكسر النموذج رقم 2 لان نسب كل من الكالسايت و الكبريتات سائدة في كافة النماذج التي تناولتها الدراسة والتي لم تتعرض إلى الكسر. إن رأي الباحثين حول تكسر العينة أعلاه إثناء الفخار يعود البتدءا إلى مرحلة التجفيف حيث أن النموذج له معامل لدانة 75.9 وهي نسبة واطئة بسبب قلة حجم الطين الثناء التجفيف أثناء الغزين (58%) إضافة إلى حجم الرمل (22 %) وجميعها أدت إلى تكوين الشقوق الشعرية أثناء التجفيف ثم توسعها أثناء الفخار ولربما في مراحله الأولى. أشار البصام(2004) إلى أن الرطوبة الناشئة عن وجود المداء في فراغات ومسامات عينة الطابوق تزال بدرجة حرارة (100 - 150) م وتؤدي إلى حصول تقاص أولي في الحجم. أما ألتكسرات التي تحصل للعينتين 16 و 13 وتعرض أسطحها للانتفاخ الجزئي مع وجود شقوق قليلة - كثيرة وظهور ندب بيضاء اللون داخل بعض عينات الطابوق وانهيارها أثناء فحصي ألتزهر وامتصاص الماء فيعود إلى ضعف مقاومة عينات الطابوق للرطوبة. بعد استقصاء العيوب بواسطة فحص الأشعة السينية المادة الأولية (الرواسب الطينية ألمتطبقة) وجد خلوها من شوائب الأملاح والكبريتات (الجبس).

تم فحص الندب البيضاء الموجودة داخل بعض عينات الطابوق بواسطة الأشعة السينية الحائدة وتبين أنها كالسيا (CaO) تكون بعد عملية الفخار وعند الترطيب تتحول إلى هيدروكسيد الكالسيوم الذي بدورة سيتحول إلى مسحوق ابيض اللون في حالة الجفاف، وهذا دليل على تأثر خواص الطابوق بوجود نسبة عالية من $CaCO_3$ وبأكثر من $CaCO_3$ إذ أن هذه المادة تتحول أثناء الفخر عند درجة حرارة cac_3 م إلى كالسيا وتحرر غاز cac_3 وبدوره يؤدي إلى زيادة مسامية الطابوق (البصام، cac_3) ونقصان قوتها (معلة وآخرون، cac_3) وسببه اتحاد cac_3 مع الماء أو الرطوبة في الجو وتكوين بعد الفخر والذي يعرف بتفجير الجير (Lime blowing) وسببه اتحاد cac_3 مع الماء أو الرطوبة في الجو وتكوين cac_3 وينتج عنه زيادة بالحجم مما يؤدي إلى تلف الطابوق والتي سيتم توضيحها لاحقا.

أن المواصفة القياسية العراقية رقم 25 لسنة 1993 تربط بين المكونات الكيميائية والمعدنية والتدرج ألحجمي الحبيبي الموجودة أصلا في الرواسب الطينية، فالمقاومة الإنضغاطية للطابوق المنتج ترتبط ايجابيا مع نسبة حجم الطين الذي يتكون من المعادن الطينية بشكل رئيسي ويتحكم بتراكيز الالومينا والمغنيسيا. أما نسبة امتصاص الماء (هو تعبير عن مسامية الطابوق المنتج) فترتبط مع الكالسيا والكبريتات ونسبة الغرين الذي تتغلب فيه المعادن الكاربوناتية والمعادن الماحية من نوع الجبس. بين البصام (2004) إن المسامية تزداد بتحرر غاز CO2 من الكاربونات وكذلك تحرر الماء من الكبريتات بعد الفخار و ذلك سيؤدي بدورة إلى تكوين المسامات من خلال الفراغات التي ستتركها. إن سبب فشل عينة الطابوق رقم 19 يعود إلى نسبة المسامية العالية 33% والتي تعود إلى احتواء هذه العينة على نسب عالية من المعادن الكاربوناتية وخاصة الكالسايت حيث عملت الغازات المتحررة على تفكك هذه المعادن بدرجة حرارة 050°م وتكون مسامية ثانوية. من الجدير بالذكر إن تأثير الكاربونات اكبر من تأثير الكبريتات لان كمية الكاربونات تصل إلى CO4% أما الكبريتات فلا تتجاوز 5% وان كمية CO2 في الكالسايت 44% بينما كمية الماء في الجبس فهي 21%.

أما التزهر الذي يسبب فشل الطابوق العراقي المنتج من ترسبات السهل الفيضي الحديث فيرتبط سلبا مع الكبريتات وحجم الغرين. وقد بين ألبصام (2004) إن المعادن الطينية ذات القابلية العالية على التبادل ألايوني مثل الباليكورسكايت تحمل ايونات للعناصر القلوية والقلوية الأرضية (Ca, K, Na) في مواقع بلورية غير ثابتة وبالتالي قد يكون تحرر هذه العناصر مصدرا لزيادة ألتزهر في الطابوق المفخور في حرارة واطئة نسبيا 950° م، بين (1962) Grim انه بالإمكان تجاوز ذلك بزيادة درجة حرارة الفخار أو زيادة وقت الإنضاج.

إن الانكماش الطولي والحجمي لعينات الطابوق يرتبط بعلاقة ايجابية مع نسبة المعادن الطينية، حيث أشار ألبصام (2004) بان الانكماش الطولي والحجمي للطابوق بعد الفخار يعود إلى وجود نسبة عالية من المعادن الطينية في المادة الأولية التي تققد الماء الموجود فيها في احد الأطوار وبالتالي يؤدي إلى تقلص حجم الطابوق. إن عينة الطابوق رقم 19 تميزت بأعلى انكماش طولي (3%) وحجمي (11.9%) وربما يعود ذلك إلى وجود نسب عالية من المعادن الطينية في الرواسب الطينية ألمتطبقة لتكوين باي حسن.

يفترض أن يكون اللون السائد للطّابوق المنتج بين البيج الفاتح والأصفر، ولكن استخدام فرن قديم في عملية الفخر أدى إلى عدم انتظام توزيع الحرارة داخله وبالتالي أدى إلى إنتاج بعض عينات الطابوق بلون بني محمر.

إن عملية معالجة عينات الطابوق بالحجم ألمختبري للعينتين رقم 13 و 16 والتي ظهر على أسطحهما إنتفاخات وندب بيضاء اللون داخل جسم الطابوق تم من خلال إيجاد العلاقة بين جودة الطابوق ونسبة السليكات إلى الكاربونات حيث أن السليكات تشمل الكوارتز، المعادن الطينية والفلدسبار والكاربونات تشمل الكالسايت، وجد معلة وآخرون (أ، 2001) أن هذه العلاقة تساوي تقريبا 2 وكلما قلت هذه النسبة أدت إلى إنتاج طابوق خارج حدود المواصفة المطلوبة، إن قلة هذه النسبة تكون احتمالية بقاء قسما من CaO غير متفاعل والذي سيؤثر على مقاومة الطابوق للرطوبة (الجدول 9). بالإمكان التخلص من ظاهرة الأنتفاخات والندب البيضاء وذلك بالطحن الناعم و خفض درجة حرارة الفخر إلى 850 ° م، وبهذا يبقى CaCO على حاله وبدون تفكك والتي تحولت مكوناتها الأولية إلى الأطوار المعدنية (ولوستونايت و كهانايت - دايوبسايد)، ودرجة الحرارة أعلاه تلاءم الترب الطينية للأجزاء الشمالية من نطاق أقدام التلال.

جدول(9): تقييم جودة عينات الطابوق في موقع الموصل

ملاحظات عن الجودة	السليكات إلى	مجموع السليكات	المعادن الطينية (%)		المعادن غير الطينية (%)		رقم النموذج		
الجودة	الكاربونات	استیان	K	I+P	M+Ch	F	Q	C	المودع
غیر جید یحتاج إلى رمل	1.4	55	8	18	14	1	15	40	13
جيد	2.23	67	6	21	18	2	20	30	14
جيد	2.6	68	7	22	19	II	20	26	15
غیر جید یحتاج إلى رمل	1.36	55	1 0	14	11	5	15	41	16

حبث أن:

M= المونتموريلونايت	F = الفلدسبار	Q = الكوارتز	C = الكالسايت
K = الكاؤولينايت	P = الباليكورسكايت	I = الايلايت	Ch = الكلورايت

ولغرض تطوير أداء المادة الأولية وإمكانية استخدامها في تصنيع الطابوق تطلب الأمر إضافة رمل ناعم (يمتاز بفعاليته في تغيير السلوك الحراري لكاربونات الكالسيوم) وبنسبه 1:1 ومزجه بصورة جيدة مع الرواسب الطينية ألمتطبقة (المطحونة)، ونتيجة لعملية المزج هذه وبعد عمل عينات وفخرها بدرجة حرارة 950°م وجد بان صنف الطابوق المنتج انخفض من صنف أ إلى الصنف ب، إن مصدر الرمل الناعم كان من الطبقات الرملية المتعاقبة مع الرواسب الطينية ألمتطبقة في نفس الموقع.

الاستنتاجات

- إن الرواسب الطينية النيوجينية العائدة لتكويني انجانة و باي حسن المتكشفة في نطاق أقدام التلال توفر مادة أولية لتصنيع طابوق البناء ومن الصنفين أ و ب وفق متطلبات المواصفة القياسية العراقية رقم 25 لسنه 1993.
- تمتاز الرواسب الطينية النيوجينية بتوفر صنفين نسيجيين هما الوحل والوحل الرملي وتحتوي على أكثر من
 % معادن غير طينية واقل من 50% معادن طينية تتغلب عليها المعادن المختلطة (باليكورسكايت ايلايت) ذات اللدونة المناسبة والحساسية الضعيفة تجاه التجفيف.
- إن أفضل درجة حرارة لفخر طابوق البناء بالحجم ألمختبري هي 950° م للمادة الأولية المتوفرة في الأجزاء الجنوبية لنطاق أقدام التلال و 850° م بالنسبة للمادة الأولية المتوفرة في الأجزاء الشمالية منه.
- إن تفاعل المعادن الطينية مع المكونات الأخرى بدرجة حرارة 950° م أدى إلى اختفاء المكونات الأولية وظهور طور معدني جديد هو الد اوجايت، في حين أن الفخر بدرجة حرارة 850° م أدى إلى اختفاء المكونات الأولية وظهور أطوار معدنية جديدة تمثلت بـ ولوستونايت و كهلنايت دايوبسايد.

التوصيات

نوصى بإجراء تجربة صناعية لإنتاج طابوق البناء في المواقع المدروسة للتحقق من نوع المنتج، حيث أن الشركة العامة للمسح الجيولوجي والتعدين قامت بتجربة صناعية لإنتاج طابوق البناء من أطيان منطقة داقوق جاي في محافظة كركوك وكان الطابوق المنتج من الصنفين (أ،ب) (الياس وأخرون، 2004).

المصادر

الجهاز المركزي للتقييس والسيطرة ألنوعية، 1993. ألمواصفات ألقياسية العراقية رقم 25 الطابوق ألمصنع من ألطين (الأجر).

البصام، خلدون صبحي، 2004. تقييم المواصفات الفيزيائية والكيميائية للمواد الأولية المستعملة في صناعة الطابوق المفخور جيوسيرف، رقم التقرير 2873.

الحكيم، فرهاد عبد الأحد، 1998. تقييم بعض أطيان النيوجين في شمال العراق للإغراض السيراميكية، اطروحة ماجستير غير منشورة، جامعه بغداد، 100 صفحة.

البيداري، از هار بولص يلدا، 1997. معدنية وجيوكيميائية وتقييم الصخور الطينية لتكوين انجانة في منطقة النجف - كربلاء. اطروحة دكتوراه (غير منشورة)، جامعة بغداد، 208 صفحة.

الرمضاني، خيرية عبد الله وعبد القادر، سعد عبد الوهاب، 1995. تأثير المواد الأولية على طابوق البناء الطيني. ندوة الطابوق العراقي في مجال الاستخدام والخواص وأساليب تطور صناعته، المركز القومي للمختبرات الإنشائية، بغداد.

الياس، جعفر حميد وخميس، ضياء بدر ولفتة، أحلام عبد الله ومحمود، زياد كاظم، 2004. التجربة الصناعية لإنتاج الطابوق الفخاري لأطيان منطقة داقوق جاي بطريقة البثق في محافظة التاميم. جيوسرف، رقم التقرير 2861. بغداد، العراق.

حمادي، احمد عبد، 2002. تطوير خامات عراقية لإنتاج البلاط السيراميكي بالحرق السريع المنفرد، أطروحة ماجستير غير منشورة، جامعة بغداد.

سرسم، نجلة متي، 2004، معدنية وجيوكيميائية ترسبات النيوجين قرب الرمادي وصلاحيتها للإغراض السيراميكية، أطروحة ماجستير غير منشورة، جامعة بغداد.

فتوحي، زهير وثابت، كنانة محمد والجسار، سنان و مشكور مصطفى، 1989. الجيولوجيا الهندسية والتحري ألموقعي. إصدار مديرية دار الكتب للطباعة والنشر في جامعة الموصل، العراق.

معلة، خلدون عباس، جبو، باسم روفائيل، السعدي، نوال احمد، لفتة، أحلام عبد ألله و فياض، كوكب حمد، 2001 أ. ألتقييم ألنوعي والكمي للترب الطينية ألمتطبقة لإغراض صناعة طابوق ألبناء ألطيني في جنوب ألموصل، محافظه نينوى جيوسرف، رقم ألتقرير 2725، بغداد، ألعراق.

معلة، خلدون عباس، سعود، قيس جاسم، خميس، ضياء بدر، السعدي، نوال احمد ولفتة، أحلام عبد ألله، 2001 ب. التقييم النوعي والكمي للترب ألطينية المتطبقة لأغراض صناعة طابوق ألبناء ألطيني في شمال شرق تكريت. جيوسرف، رقم ألتقرير 2714 بغداد، العراق.

معلة، خلدون عباس، سعود، قيس جاسم، خميس، ضياء بدر، السعدي، نوال احمد ولفتة، أحلام عبد ألله، 2001 ج. التقييم النوعي والكمي للترب الطينية المتطبقة لأغراض صناعة طابوق البناء الطيني في منطقة إنجانة، محافظة ديالي. جيوسرف، رقم التقرير 2715 بغداد، العراق.

معلة، خلدون عباس، خميس، ضياء بدر، سعود، قيس جاسم، السعدي، نوال احمد وعبد الزهرة، عماد كاظم، 2002. التقييم النوعي والكمي للترب الطينية المتطبقة لأغراض صناعة طابوق ألبناء ألطيني في شرق تكريت محافظة صلاح ألدين. جيوسرف، رقم التقرير 2807 بغداد، العراق.

معلة، خلدون عباس وكاظم، ماجد عبد الأمير وعبد الحسن، علي خضير وخوشناو، عزيز إسماعيل، 2005. المسح الجيولوجي التفصيلي لطية دميرداغ المحدبة (الجزء الشرقي). أربيل، كردستان. جيوسرف، رقم التقرير 2960 بغداد، العراق.

ميرزا، تولة احمد، 1997. تقييم بعضُ أطيان الكريتاسي الأعلى والثلاثي في شمال شرق العراق للإغراض السيراميكية. رسالة ماجستير غير منشورة، جامعه بغداد، 106 صفحة.

Al-Kass, R.M. and Al-Khalissi, F.Q., 1983. Drying Properties of Brick-Clays in Iraq. Scientific Research Center, Iraq.

Bates, R.L., 1969. Geology of Industrial Rocks and Minerals. Dover Publication INC, New York, 459pp.
Bates, L.R. and Jackson, A, J., (Editors), 1983. Dictionary of Geological Terms. American Geological Institute.
Buday, T., and Jassim, S.Z., 1987. The Regional Geology of Iraq. Vol. 2, Tectonism, Magmatism, and Metamorphism, GEOSEURV, 352pp.

- Bellen, R.C., Dunnington, H.V., Wetzel, R. and Morton, D.M., 1959. Lixique Stratigraphique International. VIII, Aasie, Fasc.10a, Iraq. Paris, 333pp.
- Dunnington, H.V., 1958. Generation, migration, accumulation and dissipation of oil in northern Iraq. In Weeks, L.G.(ed.), Habitat of oil symposium, A.A.P.G., Spec. Publ., S 251, 1194pp.
- Folk, R.L., 1974. Petrology of Sedimentary Industrial Rocks and Minerals. Hemphill Publ.Co., Texas, USA, 182pp.
- Grim, R.E., 1962. Applied Clay Mineralogy. McGraw Hill Co.Inc., USA.
- Jassim, S.Z., 1976. Hydrocarbon Explosions Crater Injana area, Hemrin South Iraq. Jour. Geol. Soc. of Iraq, Vol. IX.
- Kingery, W.D., 1967. Indroduction to Ceramics. John Willey and Sons INC., New York, 781pp.
- Lambe, T.W. and Whitman, R.V., 1969. Soil Mechanics. John Willey and Sons Inc., New York, London, Sydney, Toronto.
- Lateef, A.S.A., 1976. Report on the Regional Geological Mapping of Hamrin Range. GEOSURV, int. rep. no. 772.
- Tucker, M.E., 1985. Sedimentary Petrology, An Introduction. Blackwell Scien. Publ., Oxford, 252pp.